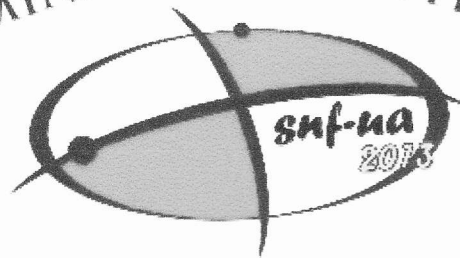


ISBN : 978-979-25-1954-9

PROSIDING

SEMINAR NASIONAL FISIKA



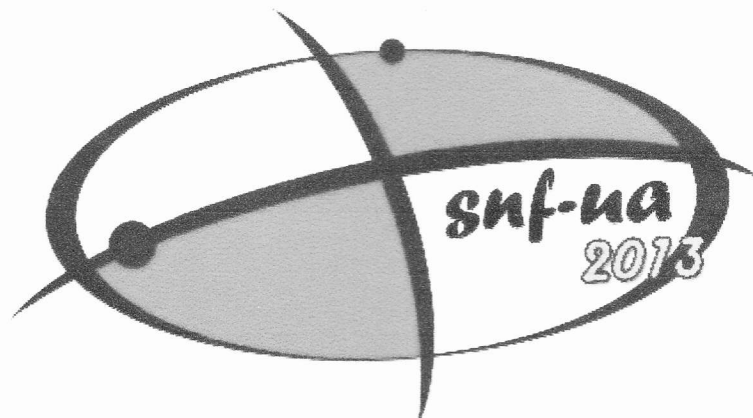
PADANG, 7 OKTOBER 2013

Editor :
Ardian Putra
Febri Melta Mahaddilla



PROSIDING

Seminar Nasional Fisika
Universitas Andalas
(SNFUA)
Padang, 07 Oktober 2013



ISBN 978-979-25-1954-9

PROSIDING

**Seminar Nasional Fisika
Universitas Andalas
(SNFUA)**

Padang, 07 Oktober 2013

**Prosiding
Seminar Nasional Fisika
Universitas Andalas (SNFUA) 2013
Padang, 07 Oktober 2013
2013, © Ardian Putra**

**ISBN 978-979-25-1954-9
Cetakan Pertama, November 2013
Editor : Ardian Putra, Febri Melta Mahaddilla
Perancang Sampul : Elistia Liza Namigo**

**Diterbitkan Oleh:
Jurusan Fisika
FMIPA Universitas Andalas
Kampus Unand Limau Manis, Padang
Telp. (0751) 73307, Fax (0751) 73118
Email: jurnal.fisika@fmipa.unand.ac.id
<http://fisika.fmipa.unand.ac.id/>**

Penentuan Struktur Cobalt Berdasarkan Pola Difraksi Elektron Dengan Menggunakan Software Matlab <i>Erwin, T. Emrinaldi, Defrianto, Adhy Prayitno dan Ilismini</i>	89
Penentuan Parameter Kisi Kristal Hexagonal Berdasarkan Pola Difraksi Sinar-X Secara Komputasi <i>Erwin, Salomo , Tang Anthoni , Adhy Prayitno dan Meli Misnawati</i>	97
Sensor Gas CO ₂ , CO dan O ₂ Sebagai Bahan Dasar Semikonduktor ZrO ₂ Didoping Dengan ZnO <i>Fadhilatul Aufa, Elvaswera, Harmadi</i>	106
Pemanfaatan Batu Apung Sebagai Sumber Silika Dalam Pembuatan Zeolit Sintetis <i>Febri Melta Mahaddilla, Ardian Putra</i>	114
Karakterisasi Sifat Listrik Zeolit-Pani Dari Limbah Bottom Ash <i>Fifi Yunica, Afidhal Muttaqin</i>	122
Sistem Kontrol Penyalakan Lampu Ruang Berdasarkan Pendektsian Ada Tidaknya Orang Di Dalam Ruangan <i>Guloeik Ottama, Wildian</i>	126
Rancang Bangun Alat Ukur Regangan Menggunakan Sensor Strain Gauge Berbasis Mikrokontroler ATMega8535 Dengan Tampilan LCD <i>Hendra Saputra, Megorry Yusfi</i>	133
Sintesis Lapisan Tipis TiO ₂ dengan Metode Elektrodepositi Menggunakan Arus Kontinu dan Arus Pulsar <i>Iin Lidia Putama Mursal, Dahyunir Dahlan</i>	142
Pemetaan Struktur Geologi Bawah Permukaan Dan Analisa Potensi Tanah Longsor Sebagai Upaya Mitigasi Bencana Geologi Melalui Pengukuran Data Gravitasi <i>Irjan dan Novi Avisena.</i>	150
Penumbuhan Nanopartikel Platinum Dengan Metode Mediasi Pemberian Untuk Aplikasi Elektroda Kounter Solar Sel Fotoelektrokimia <i>Iwantono, Tengku Afrida, Rika, Erman Taer, Akrajas Ali Umar</i>	158
Model Kesetimbangan Radiatif Dua Lapis Untuk Memprediksi Temperatur Permukaan Bumi <i>Iwan Setiawan</i>	165
Perancangan Kabel Serat Optik Sebagai Sistem Sensor Tingkat Kekeruhan Air <i>Mardian Peslinof, Harmadi dan Wildian</i>	173
Perbandingan Pola Dan Ukuran Bulir Spekel Lapisan Tipis TiO ₂ Dari Sumber Laser Merah (632.8 nm) Dan Laser Hijau (480 nm) Menggunakan Metoda LSI (<i>Laser Speckle Imaging</i>) <i>Meli Muchlian, Harmadi, Neneng Fitrya dan Mardian Peslinof</i>	179

MODEL KESETIMBANGAN RADIATIF DUA LAPIS UNTUK MEMPREDIKSI TEMPERATUR PERMUKAAN BUMI

Iwan Setiawan

Prodi Pendidikan Fisika FKIP Universitas Bengkulu

iwanphysics@gmail.com

ABSTRAK

Model interaksi termal dua lapis berdasarkan pada kondisi kesetimbangan radiatif antara permukaan bumi dan atmosfer, digunakan untuk menentukan prilaku iklim secara global. Dalam model ini banyak parameter yang terlibat dengan ketergantungan antar parameter satu sama lain, sehingga model ini menjadi sangat kompleks. Analisis dilakukan secara numerik untuk mendapatkan solusi numerik. Algoritma dibuat dengan menggunakan Metode Iteratif Secant. Model ini menggambarkan pemanasan global, mekanisme efek rumah kaca yang ditunjukkan oleh peningkatan temperatur permukaan bumi, serta peningkatan konsentrasi CO₂. Perhitungan dalam model ini berkesesuaian dengan data hasil observasi iklim global, dengan temperatur permukaan bumi 288 K, serta temperatur atmosfer 25,3 K

Kata Kunci : Kesetimbangan radiatif, Solusi numerik, Iklim Global

PENDAHULUAN

Model 2-Lapisan : Permukaan dan Atmosfer Bumi

Perbedaan suhu permukaan matahari dan bumi sebagaimana dihasilkan oleh model 1-lapis permukaan, sesuai dengan Hukum Pergeseran Wien, membedakan radiasi yang dipancarkan oleh masing-masing permukaan. Matahari, dengan suhu 6000 K, memancarkan radiasi gelombang pendek dengan panjang gelombang utama disekitar daerah ultraungu, sedang bumi, dengan suhu permukaan ≈ 255 K, memancarkan radiasi gelombang panjang dengan panjang gelombang utama di daerah sekitar inframerah

Atmosfer bumi, yang sebagian diantaranya terdiri atas gas-gas CO₂ dan H₂O memiliki sifat seperti layaknya gas rumah kaca. Sebagaimana terlihat pada Gambar 2, gabungan CO₂ dan H₂O praktis meneruskan seluruh radiasi gelombang pendek dan mengabsorbsi hampir seluruh radiasi gelombang panjang.

Jika transfer radiasi yang melibatkan lapisan atmosfer dan pemukaan bumi dapat digambarkan seperti Gambar 3, maka persamaan yang menyatakan kesetimbangan energi dapat dituliskan sebagai

$$(1 - \alpha)S_0 + Q_a = Q_s \quad (1a)$$

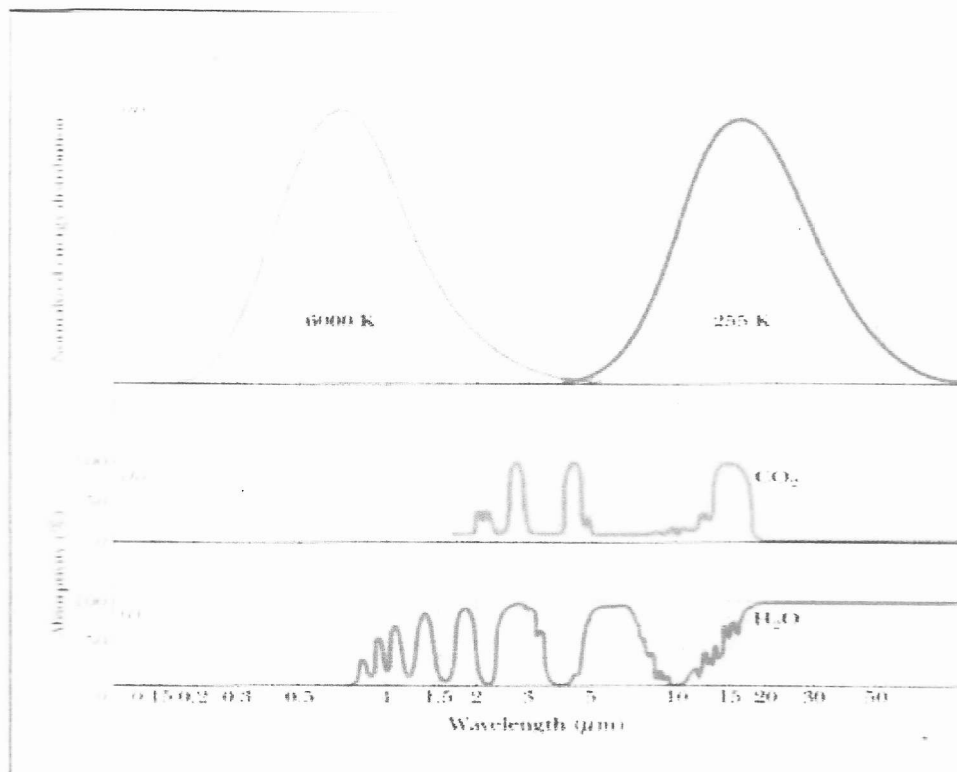
dan

$$(1 - t)Q_s = 2Q_a \quad (1b)$$

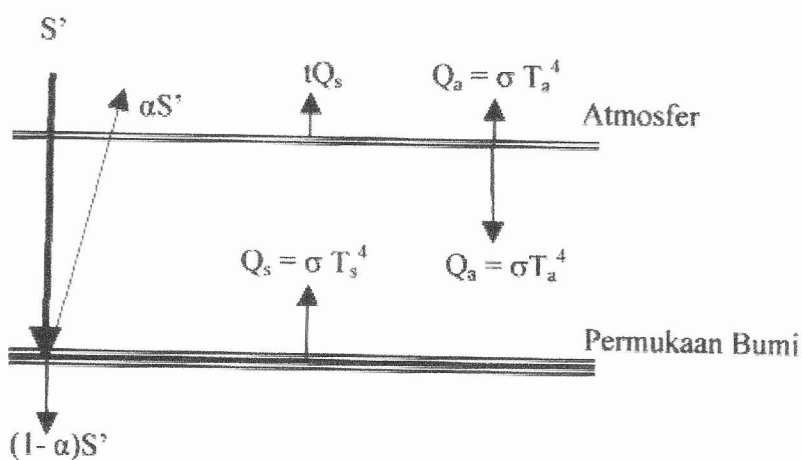
yang masing-masing berlaku untuk lapisan-1 (permukaan bumi) dan lapisan-2 (atmosfer).

$$Q_a = \sigma T_a^4 \quad (2)$$

adalah radiasi termal dari lapisan atmosfer. Konstanta t diatas menyatakan nilai *koefisien transmisi* lapisan atmosfer.



Gambar 1. Absorbsivitas gas H_2O dan CO_2 masing-masing untuk radiasi gelombang pendek dan radiasi gelombang panjang (Levi, 1993)



Gambar 2. Model 2-lapis permukaan

Distribusi Energi dan Suhu

Dengan menggunakan persamaan (1a) dan (1b) akan diperoleh distribusi energi radiasi yang dipancarkan masing-masing oleh permukaan bumi dan lapisan atmosfer diatas sebagai

$$Q_s = [2/(1+t)](1-\alpha)S_0 \quad (3a)$$

dan

$$Q_a = [(1-t)/(1+t)](1-\alpha)S_0 \quad (3b)$$

serta distribusi suhu untuk kedua lapisan tersebut, masing-masing

$$T_s = [2(1-\alpha)S_0/(1+t)\sigma]^1/4 \quad (4a)$$

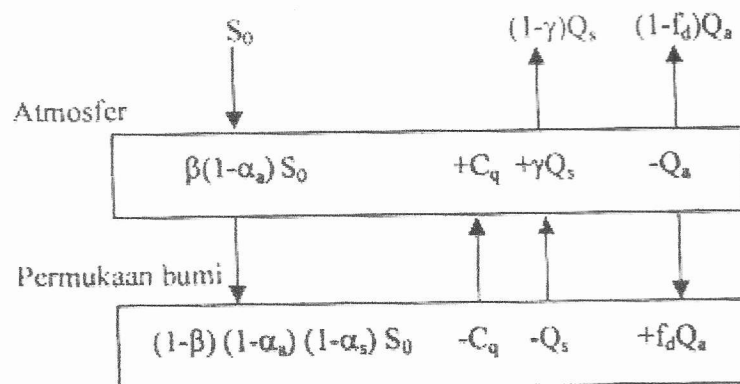
dan

$$T_s = [(1-t)/2]^1/4 T_s = [(1-t)(1-\alpha)S_0/(1+t)\sigma]^1/4 \quad (4b)$$

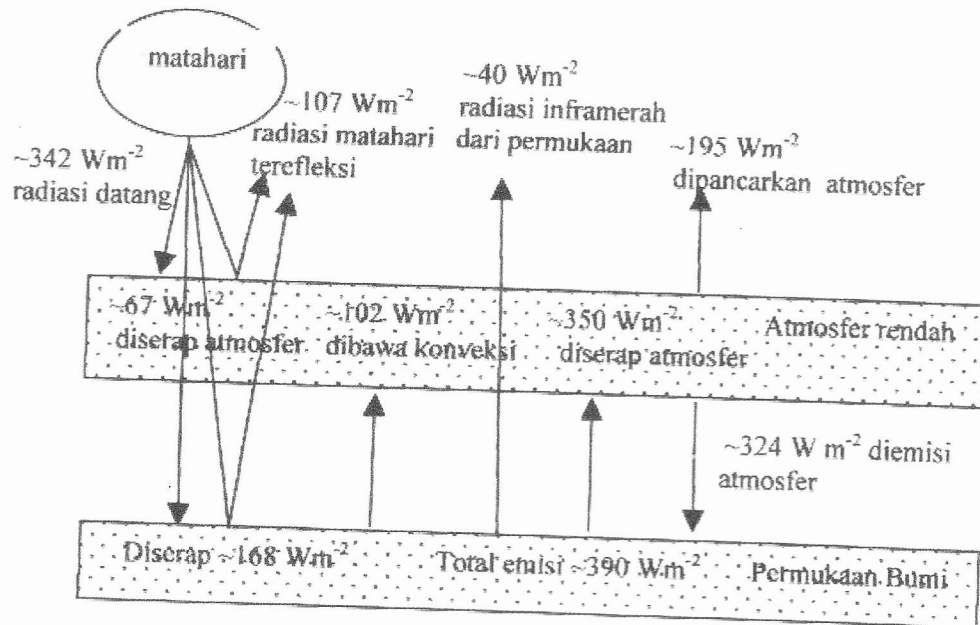
Perhatikan bahwa persamaan (3a) akan sama dengan perumusan $Q_s = S^* = \sigma T_s^4$ jika $t = 1$, yang dalam hal ini berarti seluruh radiasi termal bumi diabsorbsi oleh lapisan atmosfer. Ini adalah kasus untuk model 1-lapis permukaan. Jika $t = 0$, yaitu keadaan seluruh radiasi termal bumi di absorbsi oleh lapisan atmosfer, maka dengan menganggap $\sigma = 0,3$, akan diperoleh suhu permukaan bumi sebesar 303 K ($30^\circ C$). Nilai ini mencerminkan nilai suhu maksimum permukaan bumi yang dapat diprediksi oleh model interaksi radiasi 2-lapis permukaan. Sementara itu, persamaan (4a) masih memberi peluang untuk menjelaskan tentang suhu "real" permukaan bumi, 288 K yang akan diperoleh jika dipilih $t = 0,22$ atau koefisien absorbsi sebesar 78 % (Lutgens & Tarbuck, 1992)

Model Kiehl-Trenberth

Gambar 4 menunjukkan model sederhana dari aliran energi Kiehl-Trenberth yang diperoleh dari skema budget energi sistem atmosfer-permukaan bumi, seperti yang diperlihatkan pada gambar 5



Gambar 4. Skema keseimbangan energi model radiatif 2-lapis Kiehl-Trenberth.
 (Sumber : Barker & Ross, 1999).



Gambar 5. Diagram blok budget energi sistem atmosfer-bumi
 (Barker & Ross, 1999)

Dari gambar 2.5 dapat dituliskan persamaan diferensial untuk laju perubahan energi dalam 2-lapisan

Atmosfer

$$\frac{dE_a}{dt} = \beta (1 - \alpha_a) S' + C_q + \gamma \sigma T_s^4 - 2\sigma T_a^4 \quad (5a)$$

Permukaan bumi

$$\frac{dE_{as}}{dt} = (1 - \beta) (1 - \alpha_a) (1 - \alpha_s) S' - C_q - \sigma T_s^4 + 2 f_d \sigma T_a^4 \quad (5b)$$

Model ini mengungkap parameter yang lebih lengkap dengan hubungan empirik antar parameter yang lebih kompleks. Nilai-nilai parameter seperti pada persamaan (5a) dan (5b) juga ditentukan dari parameter-parameter dasarnya. Parameter f_d menggambarkan fraksi emisi gelombang panjang dari atmosfer yang berarah ke permukaan bumi.

Albedo planet (*planetary albedo*) adalah reflektansi rata-rata dari radiasi gelombang pendek. Perhitungan dan model terbanyak memberikan nilai albedo 0,3. Untuk lebih menyederhanakan perhitungan, diasumsikan bahwa semua awan memiliki albedo yang sama α_c dan setiap udara jernih memiliki albedo udara jernih α_{a0} , sehingga diperoleh albedo atmosfer rata-rata (Barker & Ross, 1999) :

$$\alpha_a = f_c \alpha_c + (1 - f_c) \alpha_{a0} \quad (6)$$

Dengan f_c adalah fraksi lingkup awan dan untuk atmosfer saat ini diasumsikan $f_c \approx 0,62$. Albedo permukaan dianggap bernilai $\alpha_r = 0,1$. Energi budget rata-rata global tahunan serta data tambahan berdasarkan asumsi dan estimasi yang rasional terangkum dalam tabel 1.

Atmosfer juga menyerap radiasi gelombang pendek dari matahari langsung, yang secara empirik dapat dirumuskan sebagai (Barker, 1999)

$$\beta = 0,21(1 - f_c) + 0,28f_c \quad (7)$$

Dari energi gelombang panjang yang diradiasikan oleh atmosfer, hanya fraksi f_d yang mencapai permukaan bumi, adapun nilai $f_d = 0,6$ (Tabel 1) diatur dalam model untuk memperoleh $ST_s = 288$ K, merupakan perkiraan yang rasional dikaitkan dengan nilai radiasi terkait sebagaimana ditunjukkan pada Gambar 5.

Pada model ini, kita menggunakan sebuah metode perkiraan "equivalent widths" untuk memperoleh nilai transmitansi atmosfer untuk variabel-variabel gas rumah kaca CO_2 , H_2O dan O_3 (Barker & Ross, 1999). Penyesuaian hasil pengukuran menghasilkan hubungan empirik untuk absorpsi gelombang panjang oleh atmosfer

$$\gamma \approx \left\{ 1 - \exp \left[-0,082 - (2,38P_{\text{H}_2\text{O}}H_2\text{O}R_H + 40,3f_{\text{CO}_2})^{0,294} \right] \right\} \quad (8)$$

dengan f_{CO_2} adalah rasio pencampuran karbodioksida (sebagai contoh, $f_{\text{CO}_2} = 3,5 \times 10^{-4}$ menunjukkan 350 ppmv), R_H adalah kelembaban relatif (dianggap mencapai 80 %) dan $P_{\text{H}_2\text{O}}$ adalah tekanan uap air jenuh (dalam bar)

$$P_{\text{H}_2\text{O}} = 1,76 \times 10^6 \exp(-5318T/T_s) \text{ bar} \quad (9)$$

dimana parameter $H_{\text{H}_2\text{O}}$ adalah tinggi skala uap air dalam km (diasumsikan sama dengan 2)

Bentuk formula empirik untuk albedo permukaan dinyatakan sebagai :

$$\alpha_s = \alpha_i + (\alpha_r - \alpha_i) \frac{1}{2} \left[1 - \tanh \left\{ - \left(\frac{250 - T_s}{20} \right) \right\} \right] \quad (10)$$

Fraksi lingkup awan f_c dan fluks panas konvektif C_q dinyatakan secara empirik sebagai

$$f_c = 0,5 \left\{ 1 - \tanh \left\{ -0,245 + \left[1 - \frac{P_{\text{H}_2\text{O}}}{P_{\text{H}_2\text{O}}^0} \right]^s \right\} \right\} \quad (11)$$

dan

$$C_q = C_{q0} \left[\frac{T_s}{T_{s0}} \right]^t \quad (12)$$

Dengan $T_{s0} = 288$ K adalah suhu referensi permukaan bumi, $P_{\text{H}_2\text{O}}^0$ adalah tekanan uap air jenuh pada T_{s0} dan C_{q0} adalah fluks panas konvektif (102 Wm^{-2} pada T_{s0}) (Barker & Ross, 1999). Sebagaimana tertera pada persamaan 11 dan 12, s dan t adalah parameter-parameter yang dipilih masing-masing untuk medapatkan nilai f_c dan C_q yang sesuai dengan observasi maupun untuk memperoleh sensitivitas iklim yang paling sesuai dengan kenyataan.

HASIL DAN PEMBAHASAN

Perhitungan komputasional pada model Kiehl dan Trenberth dilakukan untuk mendapatkan solusi numerik dari persamaan difffrensial (5a) dan (5b). Di dalam implentasinya akan digunakan metode iteratif secant (*Secant Iterative Method*) (Barker & Ross, 1999; King, 1984). Berkait dengan variabel/parameter yang terlihat didalam model akan digunakan data hasil pengukuran energi budget rata-rata global tahunan (Kiehl dan Trenberth, 1997), serta data tambahan berdasarkan asumsi dan estimasi yang rasional dari Barker dan Ross (1999)

Dari persamaan (5) diatas, pada kondisi setimbang, akan diperoleh $f(T_s)$ yang dapat dinyatakan sebagai

$$f(T_s) = \beta (1 - \alpha_a) (1 - \alpha_s + f_d \alpha_s) S' + (2f_d - 1) C_q + (\gamma f_d + f_d - 1) \sigma T_s^4 \quad (12)$$

Untuk memperoleh nilai T_s dari persamaan (12), dengan menggunakan Metode Iteratif Secant adalah sebagai berikut : dari dua buah titik initial, T_{si} dan T_{si+1} dapat ditentukan, yaitu ketika garis secant, yang menghubungkan T_{si} , $f(T_{si})$ dan (T_{si+1}) , $f(T_{si+1})$ memotong sumbu T_s dan dapat dinyatakan sebagai

$$T_{si+2} = T_{si+1} - \frac{T_{si+1} - T_{si}}{f(T_{si+1}) - f(T_{si})} f(T_{si+1})$$

Iterasi dimulai dengan memilih T_{start} sebagai suatu estimasi untuk suhu permukaan. Dan nilai T_{start} yang dipilih adalah dalam range 0-350 K dengan interval 10 K, dengan varisi konsentrasi f_{CO_2} dari 0-750 ppmv dengan interval 50 ppmv

Tabel 1 . Nilai Parameter Dasar Model Kiehl-Trenberth.

Variabel/parameter	Simbol	Nilai	Keterangan/rujukan
Albedo udara jernih	α_{a0}	0.05	estimasi
Albedo awan	α_c	0.40	estimasi
Albedo es salju	α_l	0.70	estimasi
Albedo tanah	α_r	0.10	estimasi
Kelembaban relatif	R_{H2O}	0.8	Asumsi
Tinggi skala H_2O	H_{H2O}	2 km	Asumsi
Fraksi emisi ke bawah	f_d	0.69	Penyesuaian
Intensitas matahari	S_0	342 W m^{-2}	Kiehl & Trenberth, 97
Fluks panas pada T_{S0}	C_{q0}	102 W m^{-2}	Kiehl & Trenberth, 97
Suhu permukaan (ref)	T_{S0}	288.0 K	Kiehl & Trenberth, 97
Suhu atmosfer (ref)	T_{a0}	253.8 K	-

(Sumber : Barker & Ross, 1999).

Tabel 2. Keterangan simbol dan parameter yang digunakan

simbol	parameter	simbol	parameter
f_c	Fraksi lingkup awan	α_{a0}	Albedo udara jernih
β	Absorpsi gel. pendek atmosfer	α_c	Albedo awan
α_a	Albedo atmosfer	α_i	Albedo es/salju
α_s	Albedo permukaan bumi	α_r	Albedo tanah gundul
p_{H2O}	Tekanan uap air jenuh	R_H	Kelembaban relatif
γ	Absorpsi gel. panjang atmosfer	H_{H2O}	Skala ketinggian H_2O
C_q	Fluks panas konvektif	f_d	Fraksi emisi ke bawah
Q_s	Emisi permukaan bumi	S'	Emisi matahari
T_a	Suhu atmosfer	C_q^o	Parameter fluks panas
T_s	Suhu permukaan bumi	T_{s0}	Suhu permukaan bumi (ref)
f_{CO2}	Fraksi CO_2 di atmosfer	T_{a0}^o	Suhu atmosfer (ref)
s	<i>Feedback</i> awan	P_{H2O}^o	Parameter tekanan uap jenuh
t	<i>Feedback</i> fluks panas		

Model kesetimbangan radiatif 2-lapis Kiehl & Trenberth memberikan gambaran sistem iklim global yang lebih kompleks, rinci, jelas dan kuantitatif. Model ini menggunakan formula dan nilai-nilai parameter dasar seperti pada Tabel 2, memberikan kesesuaian dengan hasil observasi terhadap kondisi iklim saat ini, antara lain pada suhu permukaan bumi, suhu atmosfer dan albedo planet bumi. Sebagaimana diperkirakan dari metode numerik yang digunakan, solusi yang menyatakan kondisi kesetimbangan sistem sangat ditentukan oleh penentuan T_{start} . Hasil perhitungan dengan mengambil interval suhu 10 K menyimpulkan bahwa pada $T_{start} = 270-350$ K diperoleh kondisi iklim global yang stabil sebagaimana yang dicapai saat ini.

Tabel 3 . Hubungan antara fraksi CO_2 (f_{CO2}) dengan suhu permukaan (T_s) dan suhu atmosfer (T_a), untuk $T_{start} = 270 - 350$ K.

f_{CO2} (ppmv)	T_s		T_a		$T_s - T_a$
	(K)	(°C)	(K)	(°C)	
0	284.24	11.24	247.86	-25.14	36.38
50	284.89	11.89	248.87	-24.13	36.02
100	285.48	12.48	249.81	-23.19	35.67
150	286.05	13.05	250.70	-22.30	35.35
200	286.58	13.58	251.54	-21.46	35.04
250	287.08	14.08	252.33	-20.67	34.75
278	287.35	14.35	252.76	-20.24	34.59
300	287.55	14.55	253.08	-19.92	34.47
350	288.00	15.00	253.79	-19.21	34.21
356	288.05	15.05	253.88	-19.12	34.17
400	288.42	15.42	254.47	-18.53	33.96
450	288.82	15.82	255.10	-17.90	33.72
500	289.20	16.20	255.70	-17.30	33.50
550	289.55	16.55	256.26	-16.74	33.29
600	289.89	16.89	256.78	-16.22	33.10
650	290.20	17.20	257.28	-15.72	32.92
700	290.49	17.49	257.74	-15.26	32.75
750	290.77	17.77	258.17	-14.83	32.60

Dari Tabel 3, didapatkan bahwa pada $T_{start} = 270-350$ K hubungan antara f_{CO_2} terhadap T_s dan T_a adalah : meningkatnya f_{CO_2} maka suhu permukaan bumi (T_s) dan atmosfer (T_a) juga meningkat, dan juga didapatkan bahwa semakin meningkat f_{CO_2} semakin kecil perbedaan suhu antara permukaan dan atmosfer bumi.

KESIMPULAN DAN SARAN

1. Model kesetimbangan radiatif 2-lapis memberikan kesesuaian dengan hasil observasi kondisi iklim saat ini, yaitu suhu permukaan bumi $T_s = 288$ K dan suhu atmosfer $T_a = 253,8$ K
2. Untuk $T_{start} = 270-350$ K, diperoleh hubungan semakin tinggi f_{CO_2} maka akan semakin tinggi nilai T_s dan T_a . Hal ini berkesesuaian dengan teori efek rumah kaca dan pemanasan global
3. Pengembangan ke model N-lapis, yang dalam hal ini memungkinkan untuk membahas pengaruh ketinggian atmosfer terhadap T_a dapat dilakukan.

DAFTAR PUSTAKA

- Arsali & Johan, A. 2002. Prediksi Suhu Atmosfer Bumi Berdasarkan Model Transfer Radiasi Termal I-Dimensi. Laporan Hasil Penelitian PPD-PMU HEDS. Inderalaya.
- Ayyub, B.M & McCuen, R.H. 1996. Numerical Method for Engineers, <http://www.sciencemag.org>
- Barker, J.R & Ross, M.H. 1999. An Introduction to Global Warming. Am.J. Phys. 67 : 1216.
- Barker, J.R 1999. Toy Climate Model. <http://physicc.Isa.umich.edu>
- Boeker , E & Grondale, R. 1995. Environmental Physics. Jhon Wiley & Sons. Singapore
- Kiehl, J.T & Trenberth, K.E. 1997. Earth's Annual Global Mean Energy Budget. Dalam Barker, J.R & Ross, M.H. 1999. An Introduction to Global Warming. Am.J. Phys. 67 : 1216.
- King, J.T. 1984. Introduction to Numerical Computation. McGraw-Hill. Inc USA
- Kittel, C & Kroemer, H. 1980. Termal Physic. 2nd edition. Jhon Wiley & Sons. Singapore
- Levi, B. 1993. Are Manufactured Emissions of CO₂ Warming Our Climate? Dalam : Halliday, Resnick R & Walker J. Fundamental of Physics. 4th edition. Jhon Wiley & Sons. Singapore
- Lutgens, F.K & Tarbuck, E.J. 1992. The Atmosphre. 5th edition. Prentice Hall. Engelwood Cliffs. New Jersey
-

Pertanyaan 1.

- Nama Penanya : Rika Desrina
Instansi : Jurusan Fisika FMIPA Univeritas Andalas
Pertanyaan : Adakah perbedaan real nya dipermukaan bumi dari parameter data in?
Jawaban : Karena parameter ini jika diperhitungkan secara matematis banyak dan sulit diperhitungkan, maka dibuat untuk mempermudah perhitungannya. Untuk siang dan malam belum menjadi konsep dalam makalah ini.